

缺氧对人乳腺癌 MCF-7 细胞 *miRNA-21* 表达的影响及与细胞增殖和凋亡的关系

张 博, 张雪鹏, 胡宝山, 张 艳, 张媛媛, 赵光明

(河北联合大学附属医院, 河北 唐山 063000)

摘要:[目的] 观察缺氧环境下人乳腺癌 MCF-7 细胞增殖及凋亡的情况, 初步探讨缺氧对 *miRNA-21* 表达的影响及其与细胞增殖、凋亡的关系。[方法] CoCl_2 人工模拟缺氧环境, 四甲基偶氮唑蓝比色法(MTT)检测缺氧环境下细胞增殖状况, 流式细胞仪检测细胞的凋亡率, 实时荧光聚合酶链反应(RT-PCR)测定不同缺氧程度下 *HIF-1α* 和 *miRNA-21* 表达水平的变化。[结果] 与常氧对照组相比较, CoCl_2 处理组的细胞明显受到抑制, 但 100、200 $\mu\text{mol/L}$ CoCl_2 处理组的细胞在一定时间内仍增殖, 抑制率随缺氧时间和药物浓度增加而上升。流式细胞仪检测结果显示, CoCl_2 处理组细胞凋亡率高于对照组 ($P<0.05$)。RT-PCR 检测显示, 200、400 $\mu\text{mol/L}$ 的 CoCl_2 处理组培养 24h 后细胞的 *HIF-1α* 和 *miRNA-21* 表达高于对照组 ($P<0.05$)。[结论] 人乳腺癌 MCF-7 细胞可在一定缺氧程度和时间内生长, 缺氧诱导细胞凋亡率增加, 缺氧能上调 *HIF-1α*、*miRNA-21* 的表达, 使之进一步耐受缺氧, 其机制可能是上调的 *miRNA-21* 通过多个信号通路调控靶基因进而影响癌细胞的增殖及凋亡。

主题词: 乳腺肿瘤; 缺氧微环境; 微小 RNA-21; 缺氧诱导因子-1 α

中图分类号:R737.9 **文献标识码:**A **文章编号:**1671-170X(2014)04-0265-05

doi:10.11735/j.issn.1671-170X.2014.04.B001

Influence of Hypoxia on the Expression of *miRNA-21* in Human Breast Cancer MCF-7 Cell and Its Relationship with Cell Proliferation and Apoptosis in Vitro

ZHANG Bo, ZHANG Xue-peng, HU Bao-shan, et al.

(The Affiliated Hospital of Hebei United University, Tangshan 063000, China)

Abstract: [Purpose] To investigate the effects of hypoxia microenvironment on the proliferation and apoptosis of human breast cancer MCF-7 cell line, and preliminarily explore the effects of hypoxia on the cellular expression of microRNA-21 (*miRNA-21*) and the cell proliferation and apoptosis. [Methods] Hypoxia environment of breast cancer line MCF-7 was induced by CoCl_2 . MTT assay was used to monitor the situation of CoCl_2 -induced hypoxia on proliferation of human breast MCF-7 cell in vitro. The cell apoptotic ratio was detected by flow cytometry. Reverse transcription polymerase chain reaction (RT-PCR) was used to examine the expression of *HIF-1α* mRNA in different hypoxia level, and the expression of *miRNA-21* was assessed by stem-loop RT-PCR. [Results] Compared with the cells without CoCl_2 treatment, the cells with CoCl_2 exposure exhibited obvious growth inhibition which increased with CoCl_2 concentration and exposure time, but 100, 200 $\mu\text{mol/L}$ CoCl_2 treatment group still had proliferation of cells in a certain period of time. According to the flow cytometry results, apoptosis rate in CoCl_2 treatment group was higher than that in control group. The mRNA expressions of *HIF-1α* and *miRNA-21* were higher in 200, 400 $\mu\text{mol/L}$ CoCl_2 treatment group than those in control group ($P<0.05$). [Conclusions] Human breast cancer MCF-7 cell are grown in a certain degree of hypoxia and time. The increase of cell apoptosis is induced by hypoxia. Hypoxia condition can up-regulate the expression of *HIF-1α* and *miRNA-21*, lead to hypoxia tolerance of MCF-7. The mechanism may be *miRNA-21* up-regulated through multiple signaling pathways regulating target genes to affect cancer cell proliferation and apoptosis.

Subject words: breast neoplasms; hypoxia microenvironment; microRNA-21; hypoxia inducible factor-1 α (*HIF-1α*)

缺氧是恶性实体肿瘤的重要生物学特征之一,

通讯作者: 张雪鹏, 主任医师, 硕士生导师, 博士; 河北联合大学附属医院肿瘤外科, 河北省唐山市建设南路 73 号(063000);
E-mail: zolbeau@sina.com

收稿日期:2013-12-04;修回日期:2014-02-21

与肿瘤的生长、侵袭、凋亡密切相关^[1]。缺氧的肿瘤细胞易发生基因突变及选择压力, 对放化疗更加耐受^[2]。微小 RNA(microRNA, miRNA)是真核生物中存在的一类最小的非编码、单链 RNA, 它的长度约

为 22 个核苷酸左右, 参与转录后基因调控, 与细胞分化、临床分期及预后有密切关系^[3]。其中 miRNA-21 在大多数实体肿瘤中高表达^[4], 但关于 miRNA-21 在缺氧微环境下的研究甚少, 本研究利用 CoCl₂ 缺氧诱导人乳腺癌 MCF-7 细胞, 观察细胞的生长情况, 检测 HIF-1 α 、miRNA-21 的表达情况。初步探讨 miRNA-21 在缺氧微环境下对肿瘤细胞的影响。

1 材料与方法

1.1 材料与试剂

人乳腺癌 MCF-7 细胞由河北联合大学医学实验中心馈赠, DMEM 培养基购自 Gibco 公司, 胎牛血清购自杭州四季青生物工程公司, MTT 购自 Amereco 公司, 二甲基亚砜(DMSO)购自 J&K 公司, 氯化钴(CoCl₂) 购自 Sigma 公司, Annexin V-FITC/PI 双染试剂盒购自联科生物公司、Trizol、PCR 引物、RT-PCR 逆转录试剂盒及 SYBR Green qPCR 试剂盒购自 Invitrogen 公司。

1.2 方法

1.2.1 细胞培养及缺氧处理

人乳腺癌 MCF-7 细胞培养于含 10% 胎牛血清、青霉素(100U/ml)、链霉素(100U/ml)的 DMEM 培养基中, 在 5%CO₂、37℃条件下常规培养、传代, 待细胞长至 60%~70%融合度, 分别用含有 0、100、200、400 μmol/L CoCl₂ 的胎牛血清培养液, 培养 24、48、72h 后进行后续试验。

1.2.2 MTT 法检测细胞增殖

培养人乳腺癌 MCF-7 细胞至对数生长期, 制备单细胞悬液, 以 2×10⁴ 个/ml 接种于 96 孔板, 每组细胞设 6 个复孔, 100 μl/孔, 待细胞贴壁后, 使用无血清培养基培养细胞 16~24h, 使细胞同步化, 空白对照组加入空培养液, 加样孔周边以磷酸盐缓冲液(PBS)封闭, 实验组各组 CoCl₂(终浓度) 分别为 0、100、200、

400 μmol/L, 培养 24、48、72h 后加入 MTT(5mg/ml) 10 μl/孔, 继续 37℃培养 4h, 弃上清, 加入 DMSO 150 μl/孔, 充分震荡 10min, 用空白对照调零, 酶标仪 490nm 处测定各孔光吸收值(OD)。细胞抑制率(%)=(1-实验组 OD 值)/对照组 OD 值×100%。

1.2.3 Annexin V-FITC/PI 双染检测凋亡

不同浓度 CoCl₂ 处理细胞 24h 后消化离心收集细胞(1 000r/min, 5min), 预冷的 PBS 洗 2 次, 离心收集细胞, 1×稀释缓冲液重悬细胞, 调节细胞悬液浓度为 1×10⁶/ml, 取 195 μl 细胞悬液, 加入 5 μl Annexin V-FITC 混匀, 避光 4℃孵育 10min, 离心去上清, 沉淀的细胞重悬于 190 μl 稀释缓冲液中, 加入 10 μl 碘化丙啶(20 μl/ml), 避光 4℃孵育 5min 后, 用流式细胞仪检测。

1.2.4 实时荧光定量 PCR 检测 miRNA-21 和 HIF-1 α 表达

将对数生长期的人乳腺癌 MCF-7 细胞按照前述的缺氧诱导条件处理细胞后, 采用 Trizol 法提取细胞总 RNA, 用紫外线分光光度法测定纯度, 反转录后进行 RT-PCR。其中 miRNA 按照逆转录说明书分别加入反应所需试剂, miRNA-21 茎环特异性引物(Table 1), 逆转录制备 cDNA。反应条件为: 37℃ 10min, 42℃ 50min, 70℃ 10min。PCR 反应条件: 95℃ 10min, 95℃ 15s, 62℃ 20s, 循环 40 次。U6 RNA 和 β-actin 分别为定量检测 miRNA-21 和 HIF-1 α 的内参基因, 用 2^{-ΔΔCt} 法进行相对定量。

1.3 统计学处理

采用 SPSS 13.0 软件进行统计分析, 多组计量资料比较使用单因素方差分析, 计量数据用 $\bar{x} \pm s$ 表示, 以 $P < 0.05$ 为差异有统计学意义。

Table 1 Sequence of the primers

Gene		Primer sequence (5'→3')	
miRNA-21	RT	CTCAACTGGTGTGGAGTCGGCAATTCAAGTTGAGTCAACATC	
	F	GGGGTAGCTTATCAGACTG	
	R	AGTGCCTGTCGTGGAGTC	
U6 RNA	RT	GTCGTATCCAGTGCAGGGTCCGAGGTATTGGACTGGATACGACAAAAATATG	
	F	GCTTCGGCACCATATACTAAAT	
	R	CGCTTCACGAATTGCGTGTCA	
HIF-1 α	F	CGTTCCCTCGATCAGTTGTC	
	R	TCACTGGTGGCAGTGGTAGT	
β -actin	F	CTGGAACGGTGAAGGTGACA	
	R	AAGGGACTTCCTGTAACAATGCA	

2 结 果

2.1 缺氧对人乳腺癌 MCF-7细胞增殖的影响

各浓度 CoCl₂ 处理组的细胞增殖力 24、48、72h 显著低于对照组, 差异有统计学意义($P<0.05$)。但 100、200μmol/L CoCl₂ 处理组的细胞 48h 较 24h 仍有增殖($P<0.05$)。各时间点随着 CoCl₂ 浓度增加, OD 值逐渐下降, 对细胞增殖影响成浓度依赖性(Table 2, Figure 1)。

2.2 缺氧对人乳腺癌 MCF-7细胞凋亡的影响

流式细胞仪检测细胞凋亡的结果显示, 0、100、200、400μmol/L CoCl₂ 处理组培养细胞 24h 后凋亡率分别为 (2.62±0.13)%、(3.31±0.12)%、(7.43±0.16)%、(11.73±0.15)%。经统计学分析, 处理组细胞的凋亡率与对照组相比有统计学差异($P<0.05$)(Figure 2)。

2.3 缺氧对 HIF-1α、miRNA-21 表达的影响

不同浓度 CoCl₂ 培养人乳腺癌 MCF-7 细胞 24h 后, 实时定量 PCR 检测 HIF-1α、miRNA-21

Table 2 The optical density of various concentration of CoCl₂ on MCF-7 cell in different time($\bar{x}\pm s$)

Time(h)	CoCl ₂ Concentration(μmol/L)			
	0	100	200	400
24	0.44±0.04	0.41±0.02*	0.40±0.03*	0.39±0.04*
48	0.51±0.06	0.45±0.02#	0.43±0.02#	0.34±0.05*
72	0.34±0.03	0.29±0.04*	0.28±0.06*	0.22±0.03*

Note: *: vs normal group, $P<0.05$; #: 24h vs 48h, $P<0.05$.

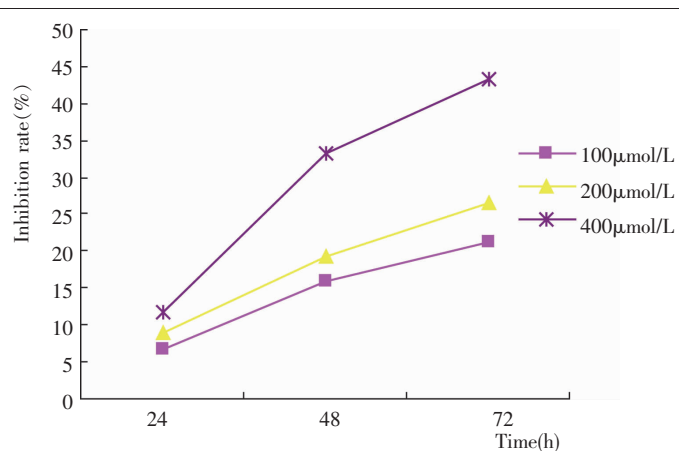


Figure 1 Inhibition rate of MCF-7 cell following CoCl₂ treatment

2.4 Annexin V-FITC/PI 检测 MCF-7 细胞凋亡

不同浓度 CoCl₂ 培养人乳腺癌 MCF-7 细胞 24h 后, 实时定量 PCR 检测 HIF-1α、miRNA-21

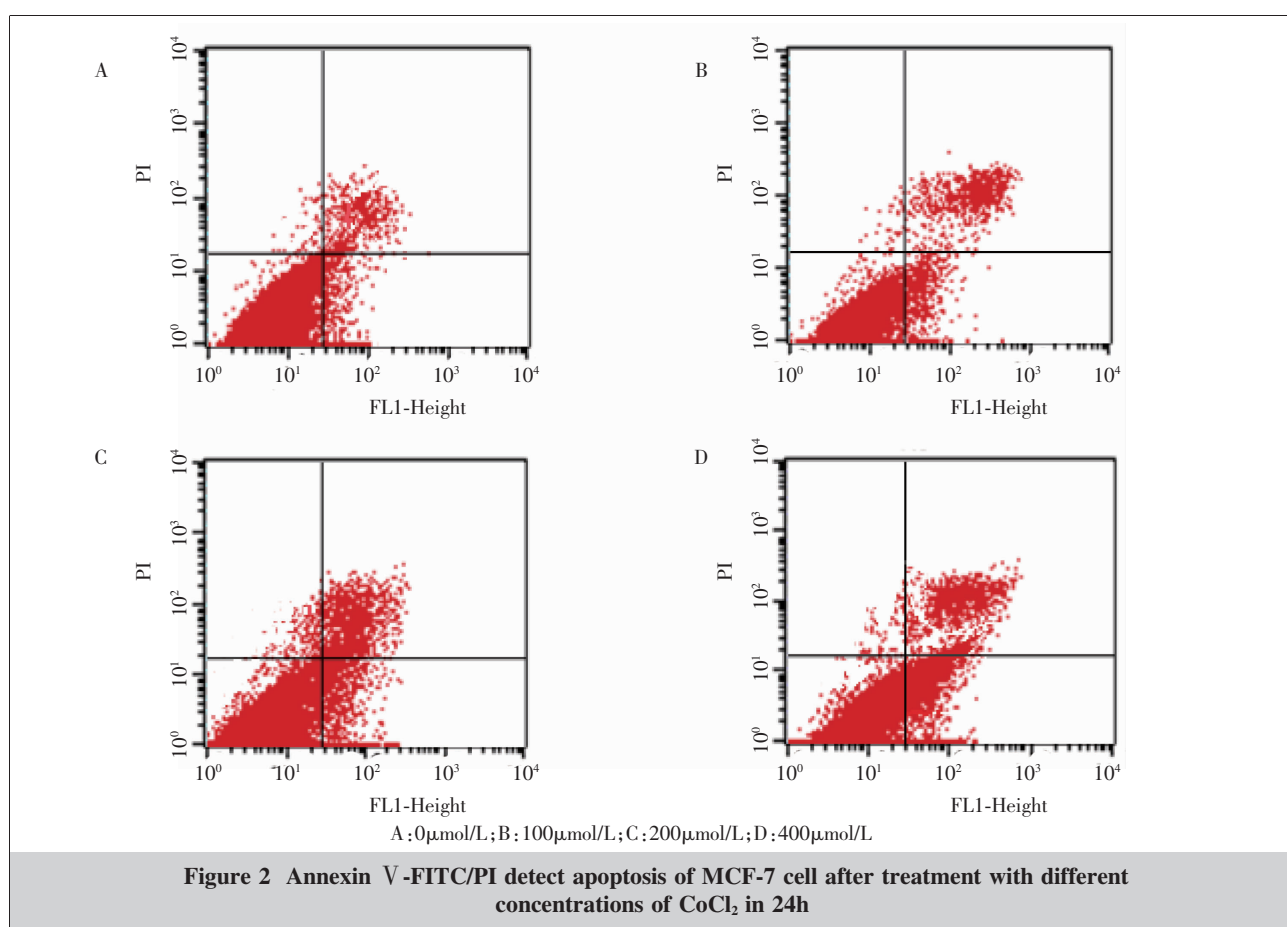


Figure 2 Annexin V-FITC/PI detect apoptosis of MCF-7 cell after treatment with different concentrations of CoCl₂ in 24h

的相对表达量。结果显示，随着缺氧程度的增加，*HIF-1α* 及 *miRNA-21* 表达不断增加，200、400 μmol/L *CoCl₂* 处理组与常氧组相比差异有统计学意义 ($P < 0.05$) (Figure 3)。相关性分析可知，*HIF-1α* 的表达与 *miRNA-21* 表达存在明显的正相关 ($r=0.967, P<0.05$)。

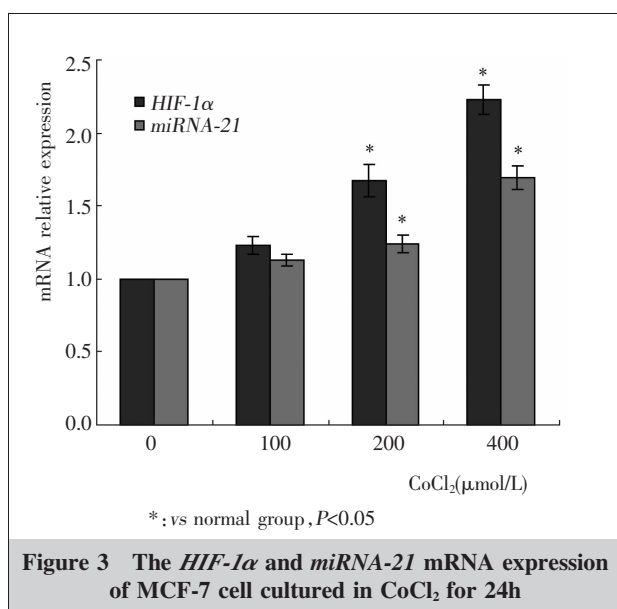


Figure 3 The *HIF-1α* and *miRNA-21* mRNA expression of MCF-7 cell cultured in *CoCl₂* for 24h

3 讨 论

在实体肿瘤组织中广泛存在的缺氧微环境是其基本特征之一。这主要是由于肿瘤细胞快速增长超过了肿瘤内新生血管的速度，造成血管未达到的组织区域出现缺氧。在缺氧环境下，HIF-1 被激活并调控一系列缺氧诱导基因的表达，从而产生一系列的缺氧自适应反应。HIF-1 是由 HIF-1α 和 HIF-1β 亚单位组成的异源二聚体，其中 HIF-1α 是主要的氧调节亚基。大量实验证明 HIF-1α 与肿瘤的增殖、凋亡、侵袭、转移及预后密切相关^[5]。并且发现恶性肿瘤中的 HIF-1α 表达较良性肿瘤高，而转移肿瘤中 HIF-1α 表达则更高^[6]。*miRNA-21* 作为较早发现的 miRNAs 之一，现已证实在胶质瘤、乳腺癌、胃癌、卵巢癌、肺癌等中高表达，并与癌细胞的增殖、凋亡及侵袭转移密切相关^[7]。

模拟缺氧环境有两种方式：一种是物理缺氧，另一种为化学缺氧，包括氯化钴、铁的螯合剂等，模拟缺氧信号转导。本实验选用氯化钴作为缺氧诱导剂，钴离子 (Co²⁺) 是铁螯合酶的底物，Co²⁺ 可以取代作为

氧感受器的人血红蛋白卟啉环中的铁离子，使得血红蛋白不能与其结合故而保持还原态，从而模拟缺氧。国内外已有学者在实验中使用氯化钴 (CoCl₂) 体外模拟缺氧环境，本实验采用不同浓度的 CoCl₂ 模拟不同缺氧程度对人乳腺癌 MCF-7 细胞的影响。

我们使用不同浓度的 CoCl₂ 培养液不同时间处理 MCF-7 细胞并用 MTT 法测定细胞生长曲线，实验结果显示，CoCl₂ 处理组较对照组均出现明显生长抑制，且增殖抑制率呈时间依赖性，但 100、200 μmol/L CoCl₂ 处理组的细胞 48h 内仍增殖，表明一定缺氧程度和时间内缺氧可刺激细胞生长。江敬红等^[8] 对宫颈癌 HeLa 细胞缺氧实验中发现缺氧促进细胞增殖。有研究显示 HIF-1α 在急性缺氧时能调节抗凋亡蛋白 IAP-2 的表达，抑制凋亡促进增殖^[9]。而处理 72h 后，由于细胞增殖代谢使培养基内的营养相对不足，代谢产物堆积，乳酸增加，pH 降低，造成活细胞比例较 48h 下降。本研究发现随着缺氧程度的增加癌细胞的凋亡率升高。研究发现 HIF-1α 在缺氧诱导的凋亡中起重要作用，过表达的 HIF-1α 可激活促凋亡基因 *HGTD-P*，进而激活促凋亡蛋白 Bax 和 Bak，导致线粒体释放大量细胞色素 C 进入胞浆蛋白酶激活因子 (Apaf-1) 和 caspase-9 形成凋亡复合物，引发细胞凋亡反应。Lee 等^[10] 证实 HIF-1α 介导 p53 的表达，增加 p53 的稳定性，进而促进细胞凋亡。由于 HIF-1α 对凋亡信号通路的研究还未完全清楚，所以现在普遍认为 HIF-1α 对凋亡的调控具有双重作用。在本实验中发现 *miRNA-21* 随着缺氧程度增加其表达量也增加，并和 HIF-1α 的表达正相关。*miRNA-21* 作为在多数实体肿瘤组织中过量表达的 HRMs，并且发现 HIF-1α 的结合位点在 pri-miRNA-21 转录起始点上游大约 2kb 的位置^[11]，Mace 等^[12] 研究发现过表达的 HIF-1α 可上调 *miRNA-21* 的表达，由此推断 HIF-1α 是促进缺氧条件下 *miRNA-21* 表达的调节因子之一。邱芳等^[13] 通过抑制乳腺癌细胞 MDA-MB-231 细胞 *miRNA-21* 表达发现可降低细胞增殖活性并促进凋亡。Sarkar 等^[14] 研究发现缺氧条件下高表达的 *miRNA-21* 可促进细胞增殖和迁移。说明 *miRNA-21* 在肿瘤细胞的增殖、凋亡及转移过程中发挥着重要的作用。由此可认为 HIF-1α 介导 *miRNA-21* 的表达，进而激活一系列靶基因如 *PTEN*、*PDCD4*、*SPRY1*、*SPRY2*、*BCL2* 等的抑

制凋亡^[15],促进细胞增殖。本文初步研究了缺氧条件下乳腺癌细胞的增殖、凋亡及 miRNA-21 与 HIF-1 α 的表达情况,有关 miRNA-21 与 HIF-1 α 的相互作用机制有待进一步研究。相信随着不断对缺氧及缺氧相关因子的深入研究,将有助于人们解开肿瘤细胞和缺氧微环境之间的关系机制,为肿瘤的基础研究和临床靶向治疗提供新的思路和方法。

参考文献:

- [1] Ruan K,Song G,Ouyang GL. Role of hypoxia in the hallmarks of human cancer[J]. J Cell Biochem,2009,107(6):1053–1062.
- [2] Bristow RG,Hill RP. Hypoxia and metabolism:hypoxia,DNA repair and genetic instability[J]. Nat Rev Cancer,2008,8(3):180–192.
- [3] Jansson MD,Lund AH. MicroRNA and cancer[J]. Mol Oncol,2012,6(6):590–610.
- [4] Huang Y,Yang YB,Zhang XH,et al. MicroRNA-21 gene and cancer[J]. Med Oncol,2013,30(1):376–384.
- [5] Quintero M,Mackenzie N,Brennan PA. Hypoxia-inducible factor 1 (HIF-1) in cancer[J]. Eur J Surg Oncol,2004,30(5):465–468.
- [6] Sun WZ,Yu LB,Zhang QY. Expression and role of HIF-1 α in carcinogenesis and progression of breast cancer[J]. Journal of the Fourth Military Medical University,2007,28(2):163–165.[孙文洲,于丽波,张清媛. HIF-1 α 蛋白在乳腺癌发生、发展不同阶段的表达及意义[J]. 第四军医大学学报,2007,28(2):163–165.]
- [7] Krichevsky AM,Gabriely G. miR-21:a small multi-faceted RNA[J]. J Cell Mol Med,2009,13(1):39–53.
- [8] Jiang JH,Cheng YX. Biological behavior influence of cervical cancer hela cells in hypoxia induced environment[J]. Journal of Chinese Oncology,2009,15(11):980–984. [江敬红,程艳香. 缺氧诱导宫颈癌 HeLa 细胞的生物学行为改变[J]. 肿瘤学杂志,2009,15(11):980–984.]
- [9] Greijer AE,Wall der van E. The role of hypoxia inducible factor 1(HIF-1) in hypoxia induced apoptosis[J]. J Clin Pathol,2004,57(10):1009–1014.
- [10] Lee M,Kang H,Jang SW. CoCl₂ induces PC12 cells apoptosis through p53 stability and regulating UNC5B[J]. Brain Res Bull,2013,96:19–27.
- [11] Kulshreshtha R,Ferracin M,Wojcik SE,et al. A microRNA signature of hypoxia[J]. Mol Cell Biol,2007,27(5):1859–1867.
- [12] Mace TA,Collins AL,Wojcik SE,et al. Hypoxia induces the overexpression of microRNA-21 in pancreatic cancer cells [J]. J Surg Res,2013,184(2):855–860.
- [13] Qiu F,Li J. Effect of miR-21 inhibition on survival and apoptosis of breast cancer cell line MDA-MB-231[J]. Journal of the Second Military Medical University,2011,32(6):691–693. [邱芳,李晶. 抑制 miR-21 表达对乳腺癌细胞株 MDA-MB-231 生存和凋亡的影响[J]. 第二军医大学学报,2011,32(6):691–693.]
- [14] Sarkar J,Gou D,Turaka P,et al. MicroRNA-21 plays a role in hypoxia-mediated pulmonary artery smooth muscle cell proliferation and migration[J]. Am J Physiol,2010,299(6):L861–L871.
- [15] Buscaglia LE,Li Y. Apoptosis and the target genes of microRNA-21[J]. Chin J Cancer,2011,30(6):371–380.

